

***Smeringopina beninensis* Kraus, 1957**

Kraus, O. 1957. Araneenstudien 1. Pholcidae (Smeringopodinae, Ninetinae). Senck. biol. 38(3/4): 217-243.

p. 236

***Smeringopina beninensis* n. sp.**

Taf. 24 Fig. 59-63.

♂ Beschreibung: Ceph wenig länger als breit. H des Clypeus 0·70 (= $\sim 2\frac{1}{2}$ facher Durchmesser der VS), die Unterkante gerade, doch auf der Fläche des Clypeus (Fig. 59) ein unpaares, nach vorn gerichtetes Horn, das am Ende einige Dornspitzchen trägt. Cheliceren frontal-lateral in einen großen, beilförmigen Fortsatz erweitert, der seinerseits in der Mitte der Dorsal-

p. 237

kante einen stumpfen Höcker trägt. Der Lateralfortsatz der Cheliceren, sowie deren ganze Frontalseite (mit Ausnahme des distalen Endes) sehr stark chitinisiert, dunkel rotbraun bis schwarz, scharfspitzig bekörnelt. Sternum breiter als lang (1·3:0·9).

Reihe der VA procurve, die untere Tangente der VS schneidet die Zentren der VM. HA schwach, doch deutlich recurv. VM < HM < HS < VS. VM um kaum $\frac{1}{3}$ ihres Radius von sich selbst und ebensoweit von den VS entfernt. Abstand der HM deutlich kleiner als ihr Längsmesser (0·15:0·22). Das von den VM + HM gebildete Trapez nur wenig kürzer als hinten breit (0·59:0·54).

Beine: Längenverhältnis der Fe I:II:IV:III, Fe I fast 9mal länger als der Ceph.

Pedipalpen (Fig. 60): Fe besonders dick, Pt und Ti ohne Besonderheiten. Ta lateral in eine große Chitinplatte von dunkel-rotbrauner bis schwarzer Färbung erweitert. Bulbus-Apophyse handförmig, in eine membranöse und eine geschwärzte Spitze endend.

Abd $5\frac{1}{2}$ mal länger als breit, also besonders schlank.

Maße: Ceph L 2·20; B 2·45. — Abd L 7·0; B 1·3. — Ges L 3·0. — Fe I 20·0; II 13·8; III 10·8; IV 12·7.

A - Durchmesser: VM 0·20; VS 0·26; HM 0·22; HS 0·24. — Abstände: VM 0·03; VM-VS 0·03; HM 0·15.

Färbung: Ceph hornbraun, mit schwärzlich brauner Medianbinde, die in der Region der Thorakalgrube völlig eingeschnürt ist, sowie schmalen Seitenrandbinden. Clypeus vorn-jederseits dunkel genetzt. Sternum und Labium schwarz. Abd dorsal Fig. 63; lateral durch schmale Binden längsgestreift; ventral eine schwarze Längsbinde, die im vorderen Drittel geteilt und in der Mitte durch einen querovalen, hellen Fleck nahezu unterbrochen ist.

♀ mit den allgemeinen Merkmalen des ♂. Die Epigyne (Fig. 61-62) zeigt vor der Epigastralfurche eine kräftig chitinisierte, gewölbte Platte von glockenförmigem Umriß, die in der vorderen Hälfte und nochmals, schwächer, am Hinterrand aufgewulstet ist. Die Öffnungen der Vulven jederseits lateral-vorn am Rande dieser Platte gelegen.

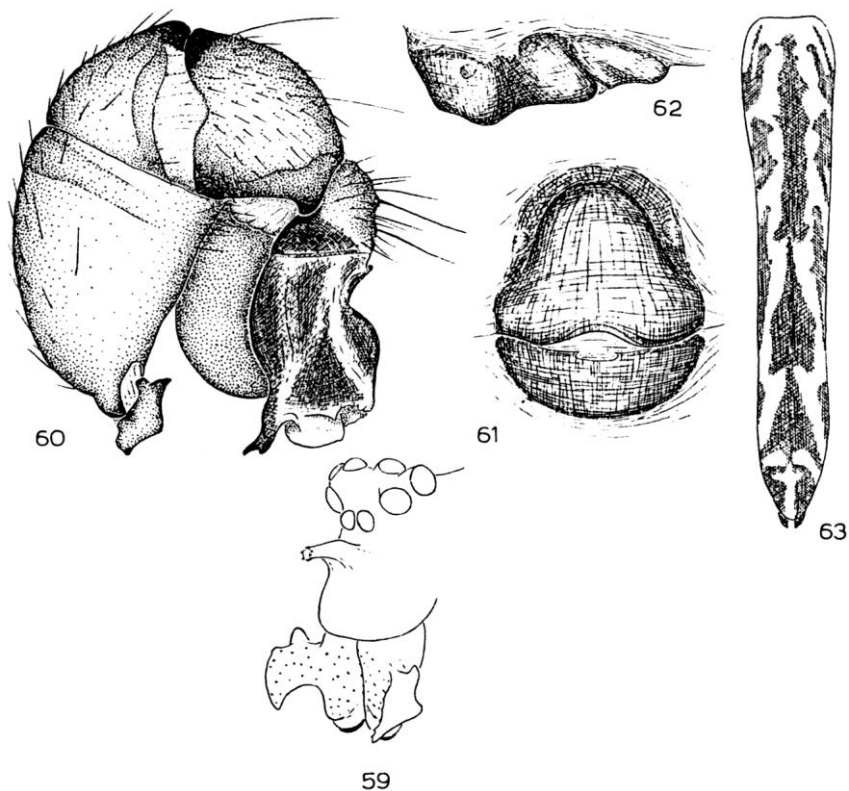
Material und Vorkommen: W-Afrika: Benin (1♂ Holotypus, 1♀ Paratypoid, MH).

p. 238

Fig. 59-63. *Smeringopina beninensis* n. sp.

59) Ceph mit Cheliceren von lateral-vorn; 60) rechter Pedipalpus (δ) von lateral; 61) Epigyne von ventral; 62) von links-lateral; 63) Abdomen von dorsal.

p. 239



Huber, B. A. 2013. Revision and cladistic analysis of the Guineo-Congolian spider genus *Smeringopina* Kraus (Araneae, Pholcidae). Zootaxa 3713: 1-160.

p. 45

***Smeringopina beninensis* Kraus, 1957**

Figs. 653–657, 688–689, 699, 778–784

Smeringopina beninensis Kraus 1957: 236–237, figs. 59–63.

Types. ♂ holotype 1♀ paratype from Benin, locality not further specified, 1907 (Manger), in ZMH, examined.

Other material examined. BENIN: Niaouli ($6^{\circ}44'N$, $2^{\circ}08'E$), 20.xi.2008 (S. Tchibozo), 1♂ 2♀ in ZFMK (Ar 10297).

NIGERIA: Agege, Lagos Colony [$6^{\circ}37.2'N$, $3^{\circ}19.8'E$], 5.xii.1948 (B. Malkin), 2♂ 5♀ 6 juvs. in AMNH. Iseri, Lagos Colony [$6^{\circ}32.4'N$, $3^{\circ}15.0'E$], 27.–30.xii.1948 (B. Malkin), 2♂ 6♀ 4 juvs. (2 vials) in CAS.

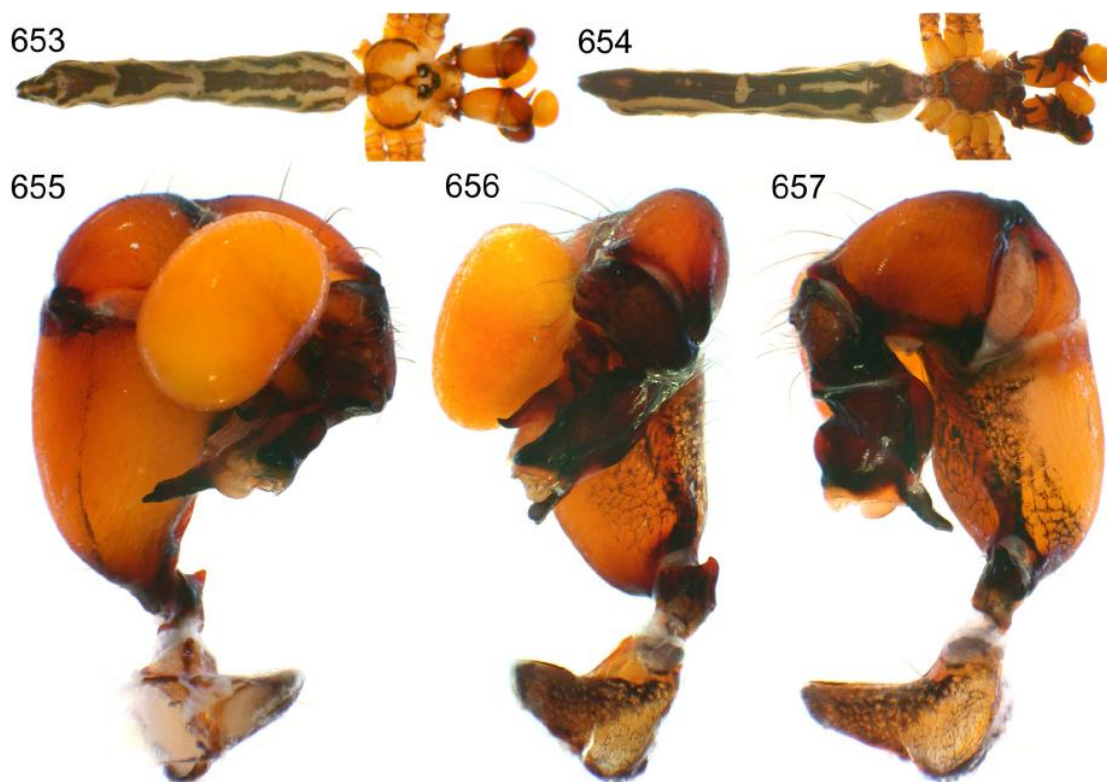
Diagnosis. Easily distinguished from known congeners by unique long median projection on male clypeus (Fig. 778); also by massive procursus with long distal apophysis (Figs. 779–780), by strong pointed projection of basal sclerotized part of embolus (Fig. 781), and by shape (longer than wide) and massive anterior protrusion of epigynum (Figs. 688–689, 783).

Male (Benin, Niaouli). Total body length 10.2, carapace width 2.1. Leg 1: 84.2 ($19.3 + 0.8 + 19.2 + 41.3 + 3.6$), tibia 2: 12.9, tibia 3: 8.9, tibia 4: 11.7; tibia 1 L/d: 99. Distance PME-PME 170 μm , diameter PME 205 μm , distance PME-ALE 90 μm , distance AME-AME 35 μm , diameter AME 185 μm . Carapace ochre-orange with brown triangular mark posteriorly, brown lateral margins, whitish around ocular area; ocular area posteriorly brown, clypeus only laterally darker, sternum dark brown; legs ochre-yellow, slightly darker rings subdistally on femora and in patella area; abdomen ochre-gray with distinct black pattern dorsally, laterally, and ventrally. Habitus as in Figs. 653–654, ocular area slightly elevated, secondary eyes with distinct ‘pseudo-lenses’; clypeus with long median projection carrying at its slightly bifid tip some modified (claw-shaped) hairs (Fig. 778); deep thoracic pit and pair of shallow furrows diverging behind pit. Chelicerae as in Fig. 782, with lateral proximal apophyses and large distal apophyses, the latter and frontal cheliceral face provided with many modified (cone-shaped) hairs. Palps as in Figs. 655–657; coxa unmodified; trochanter with simple retrolatero-ventral apophysis; femur proximally with ventral pocket bordered retrolaterally by strong sclerotized ridge, without prolateral and retrolateral projections; prolateral femur-patella joint very prominent and strongly shifted toward ventrally; tarsus with some stronger hairs dorsally; procursus with distinct hinge between proximal and distal part, with distinctive long process distally (Figs. 779–780); bulb with heavily sclerotized proximal part of embolus with strong pointed projection (Fig. 781). Legs without spines and curved hairs, with few vertical hairs (many hairs missing), retrolateral trichobothrium on tibia 1 at 1%; prolateral trichobothrium present on all tibiae; pseudosegments barely visible. Gonopore with two epiandrous spigots.

Variation. In most males (and in holotype) tip of clypeus projection not bifid. Tibia 1 in male from Agege: 19.9; missing in other males (femur 1 in holotype: 18.9).

Female. In general similar to male but clypeus unmodified; sternum and clypeus variably dark. Tibia 1 in 8 females: 13.7–16.0 (mean 14.9); in paratype: 15.2. Epigynum large, consisting of long anterior plate with massive anterior protrusion carrying pair of small pointed projections and large posterior plate (Figs. 688–689, 783); internal genitalia as in Figs. 699 and 784.

Distribution. Known from southern Benin and southwestern Nigeria (Fig. 627).



FIGURES 648–657.

S. beninensis Kraus (653–657). 648–649, 653–654. Males, dorsal and ventral views. 650–652, 655–657. Left male palps, prolateral, dorsal, and retrolateral views.

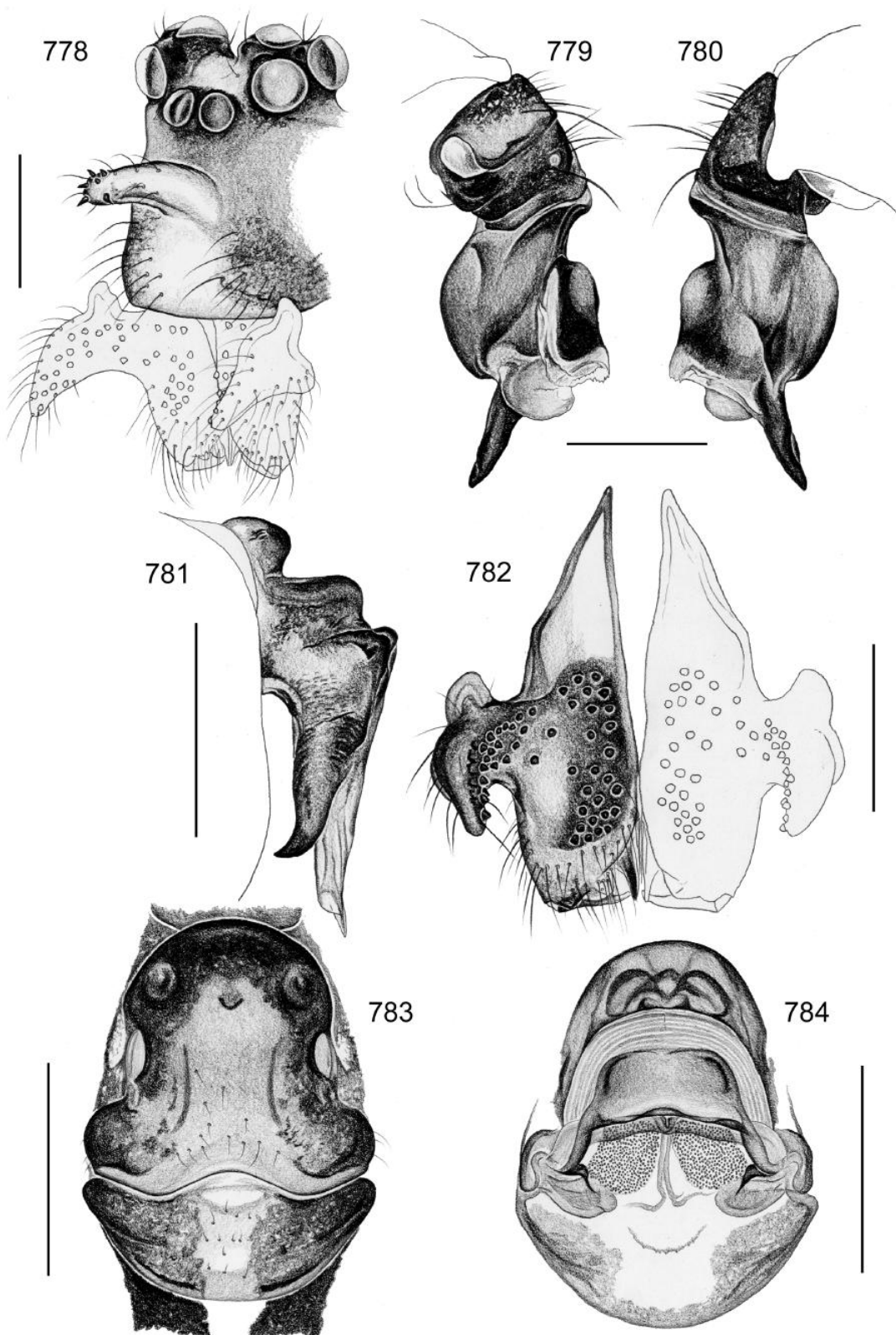


beninensis Kraus.

688–689. *S.*



699. *S. beninensis* Kraus.



FIGURES 778–784. *Smeringopina beninensis* Kraus. 778. Male clypeus and ocular area, oblique frontal view. 779–780. Left procursus, prolateral and retrolateral views. 781. Left embolus, prolateral view. 782. Male chelicerae, frontal view. 783. Epigynum, ventral view. 784. Cleared female genitalia, dorsal view. Scale lines: 0.5 (778–782), 1.0 (783–784).